

Стимулированное спиновое эхо при возбуждении псевдослучайными импульсами

© С.А. Баруздин

Санкт-Петербургский государственный электротехнический университет (ЛЭТИ),
197376 Санкт-Петербург, Россия

E-mail: bars@bars.etu.spb.ru

(Поступила в Редакцию 18 февраля 2005 г.)

Рассматривая различные режимы возбуждения стимулированного спинового эха псевдослучайными импульсами и короткими когерентными дельтаобразными импульсами. В качестве псевдослучайных сигналов используются колебания, фазоманипулированные 127-элементными M -последовательностями. Моделируется форма комплексной огибающей стимулированного эха в линейных и нелинейных режимах относительно фазоманипулированных колебаний. Показана возможность получения корреляционных функций импульсов возбуждения. Определены условия, при которых возможно увеличение амплитуды стимулированного эха по сравнению с классическим алгоритмом возбуждения стимулированного эха тремя дельтаобразными импульсами. Результаты могут быть использованы при анализе формирования стимулированного фотонного эха.

1. Введение

В 1970 г. Р. Эрнст и Р. Кайзер впервые использовали белый гауссовский шум для возбуждения ядерных спиновых систем [1–3]. Метод вошел в спектроскопию ЯМР под названием стохастического резонанса. Его сравнение с традиционными методами спектроскопии ЯМР указывает на преимущество в чувствительности перед спектроскопией медленного прохождения за счет широкополосности возбуждающего процесса. Сравнение с импульсной фурье-спектроскопией показывает, что стохастический резонанс имеет преимущества в более низкой мощности возбуждения, причем этот выигрыш может достигать значений 10^4 – 10^5 раз. Его использование также позволяет получать многомерные спектры, а снижение мощности возбуждения облегчает решение проблемы „мертвого времени“ приемника. Наряду с ЯМР стохастическое возбуждение используется также при исследованиях электронного парамагнитного резонанса и в оптике.

В настоящее время метод стохастического резонанса развивается. На его основе с помощью двумерного преобразования Фурье уже получен большой объем двумерных спектров ЯМР. При этом зачастую вместо случайного шума используют псевдослучайное возбуждение [4]. В этом случае после возбуждения сигнала свободной индукции вычисляют его корреляцию с исходным псевдослучайным сигналом [4,5]. Далее, используя преобразование Фурье или его модификации, определяют спектр.

В настоящей работе показано, что в неоднородно уширенных системах вычислить корреляцию отклика с исходным псевдослучайным сигналом можно, используя метод спинового эха. Для этого в импульсной последовательности возбуждающих импульсов должно быть два псевдослучайных импульса, совпадающих по форме с точностью до константы.

2. Трехимпульсный режим возбуждения

Поведение вектора намагниченности во внешнем магнитном поле описывается уравнениями Блоха [1,6]. Если длительности импульсов возбуждения $\tau_n \ll T_1, T_2$, где T_1, T_2 — времена продольной и поперечной релаксации соответственно, то процессами релаксации можно пренебречь. Тогда уравнение движения вектора намагниченности изохроматы во вращающейся с частотой ω_0 системе координат можно представить в виде

$$\frac{d\mathbf{M}(t, \Omega)}{dt} = \mathbf{F}(t, \Omega) \cdot \mathbf{M}(t, \Omega),$$

$$\mathbf{M}(t, \Omega) = \begin{bmatrix} \tilde{M}(t, \Omega) \\ \tilde{M}^*(t, \Omega) \\ M_z(t, \Omega) \end{bmatrix},$$

$$\mathbf{F}(t, \Omega) = \begin{bmatrix} i\Omega & 0 & -i\tilde{R}(t) \\ 0 & -i\Omega & i\tilde{R}^*(t) \\ -i\frac{\tilde{R}^*(t)}{2} & i\frac{\tilde{R}(t)}{2} & 0 \end{bmatrix}, \quad (1)$$

где $\tilde{M}(t, \Omega)$ и $\tilde{M}^*(t, \Omega)$ — комплексные поперечные компоненты вектора намагниченности, M_z — его продольная компонента; $\tilde{R}(t) = \gamma\tilde{B}(t)$ — комплексная огибающая импульса возбуждения, выраженная в единицах круговой частоты (γ — гиромагнитное отношение, \tilde{B} — комплексная поперечная компонента вектора магнитной индукции); $\Omega = \omega - \omega_0$ — расстройка частоты ω относительно несущей частоты радиоимпульса ω_0 , совпадающей с центральной частотой неоднородно уширенной линии поглощения.

Формальное решение системы (1) можно представить в матричном виде

$$\mathbf{M}(t, \Omega) = \mathbf{A}(t, t_0, \Omega)\mathbf{M}(t_0, \Omega), \quad (2)$$

где $\mathbf{M}(t_0, \Omega)$ — вектор начальных условий для момента времени t_0 ; $\mathbf{A}(t, t_0, \Omega)$ — переходная матрица состояния системы.

На свободных от импульсов возбуждения интервалах, когда $\dot{R}(t) = 0$, решение уравнений (1) может быть представлено в виде

$$\mathbf{M}(t, \Omega) = \mathbf{B}(t, t_0, \Omega)\mathbf{M}(t_0, \Omega), \quad (3)$$

где переходная матрица \mathbf{B} может быть записана в явном виде

$$\mathbf{B}(t, t_0, \Omega) = \begin{bmatrix} \exp[i\Omega(t - t_0)] & 0 & 0 \\ 0 & \exp[-i\Omega(t - t_0)] & 0 \\ 0 & 0 & 1 \end{bmatrix}. \quad (4)$$

Задав начальные условия $\mathbf{M}(-\tau_1/2, \Omega)$ в виде $\tilde{M} = \tilde{M}^* = 0$, $M_z = M_0$ (M_0 — равновесное значение вектора намагниченности), можно определить состояние вектора $\mathbf{M}(t, \Omega)$ по окончании трех импульсов возбуждения, формируемых в моменты времени $t_1 = 0$, t_2 и t_3 . Для этого последовательно используется формальное решение (2) для интервалов возбуждения и явное решение (3), (4) для свободных интервалов. В отклике спиновой системы, формируемом поперечной компонентой $\tilde{M}(t, \Omega)$ вектора намагниченности и состоящем из 9 слагаемых, можно для интервала $t \geq t_3 + \tau_3$ (τ_3 — длительность третьего импульса) выделить стимулированное эхо. Его комплексная огибающая имеет вид [6]

$$\begin{aligned} \tilde{m}_s(t) &= M_0 \int_{-\infty}^{\infty} S_s(\Omega) \exp[i\Omega(t - t_2 - t_3)] d\Omega, \\ S_s(\Omega) &= g(\Omega) a_{13}^{(3)}(\Omega) a_{32}^{(2)}(\Omega) a_{23}^{(1)}(\Omega) \\ &\quad \times \exp\left(i\Omega \frac{\tau_1 + \tau_2 - \tau_3}{2}\right), \end{aligned} \quad (5)$$

где $a_{kl}^{(n)}$ — элемент переходной матрицы для n -го импульса возбуждения, $g(\Omega)$ — низкочастотный эквивалент неоднородно уширенной линии поглощения.

При моделировании возбуждения стимулированного эха в данной работе используется два вида импульсов: фазоманипулированные 127-элементной M -последовательностью радиоимпульсы и короткие когерентные импульсы, которые будем называть дельтаобразными.

При формировании фазоманипулированных импульсов когерентная несущая радиоимпульса модулируется по фазе, принимающей два значения: 0 и π . Для этого используется бинарная M -последовательность, формируется на выходе регистра сдвига, состоящего из N ячеек и охваченного обратными связями [4,7]. Так, регистр из семи ячеек имеет $2^7 = 128$ состояний, одно из которых (нулевое) является запрещенным. Таким образом, на выходе регистра формируется псевдослучайная бинарная последовательность 127 элементарных (0 и 1) импульсов, длительностью τ .

Переходная матрица для элементарного импульса имеет вид

$$\begin{aligned} a_{22}^* &= a_{11} = \frac{R^2 + (R^2 + 2\Omega^2) \cos \beta\tau}{2\beta^2} + i \frac{\Omega \sin \beta\tau}{\beta}, \\ a_{21}^* &= a_{12} = \frac{\tilde{R}^2}{\beta^2} \sin^2\left(\frac{\beta\tau}{2}\right), \\ a_{23}^* &= a_{13} = \frac{2\tilde{R}\Omega}{\beta^2} \sin^2\left(\frac{\beta\tau}{2}\right) - i \frac{\tilde{R} \sin \beta\tau}{\beta}, \\ a_{32}^* &= a_{31} = \frac{\tilde{R}^* \Omega}{\beta^2} \sin^2\left(\frac{\beta\tau}{2}\right) - i \frac{\tilde{R}^* \sin \beta\tau}{2\beta}, \\ a_{33} &= \frac{\Omega^2 + R^2 \cos \beta\tau}{\beta^2}, \end{aligned} \quad (6)$$

где $\beta^2 = R^2 + \Omega^2$, $\tilde{R} = R \exp(i\varphi)$, R — амплитуда, φ — начальная фаза радиоимпульса. При этом символу 1 соответствует фаза несущей $\varphi = 0$, а символу 0 — фаза $\varphi = \pi$.

Переходная матрица для всего фазоманипулированного импульса определяется путем перемножения матриц элементарных импульсов (6) с учетом алгоритма формирования M -последовательности в регистре сдвига и его начального состояния, принятого равным 0, 0, 0, 0, 0, 0, 1 от входа к выходу. Результирующая длительность фазоманипулированного импульса равна $\tau_M = 127\tau$.

Второй тип используемых при возбуждении импульсов — дельтаобразные. Они представляют собой прямоугольные радиоимпульсы с амплитудой R_δ и начальной фазой φ_δ . Длительности такого импульса τ_δ удовлетворяют условию $\tau_\delta \ll (\Delta F_L)^{-1}$, где ΔF_L — ширина неоднородно уширенной линии. Эти импульсы имеют свойства, схожие со свойствами дельта-функции Дирака: они являются достаточно короткими импульсами, спектр которых примерно постоянен в полосе частот, обратно пропорциональной длительности импульса. Представляющие наибольший интерес при моделировании возбуждения стимулированного эха элементы переходной матрицы для дельтаобразного импульса имеют вид

$$\begin{aligned} a_{13} &= a_{23}^* = -i \sin \alpha \exp(i\varphi_\delta); \quad a_{32} = \frac{i}{2} \sin \alpha \exp(i\varphi_\delta), \\ \alpha &= R_\delta \tau_\delta, \quad \tilde{R}_\delta = R_\delta \exp(i\varphi_\delta). \end{aligned} \quad (7)$$

Обычно для получения максимальной амплитуды стимулированного эха используют 90-градусные импульсы, для которых $\alpha = \pi/2$.

Пусть первый и второй импульсы возбуждения будут дельтаобразными. При этом $\alpha_1 = \alpha_2 = \pi/2$, $\varphi_{\delta 1} = 0$, а $\varphi_{\delta 2} = -\pi/2$. Третий импульс возбуждения является фазоманипулированным.

Объектом моделирования являются тонкие поликристаллические ферромагнитные пленки кобальта с резонансом ядер ^{59}Co [8–12]. Эти пленки имеют центральную частоту линии поглощения 217 МГц, а ее ширина составляет 10 МГц. Неоднородно уширенная линия поглощения $g(\Omega)$ моделируется гауссовской функцией с параметром $\sigma_g = 2\pi \cdot 10^7$ rad/s.

Длительность элементарного импульса M -последовательности равна $\tau = 0.1 \mu\text{s}$, что соответствует равенству ширины спектра этого импульса $\Delta F = \tau^{-1}$ ширине неоднородно уширенной линии пленок кобальта. Длительность фазоманипулированного импульса при этом составляет $\tau_3 = 12.7 \mu\text{s}$.

3. Комплексная огибающая стимулированного эха

На рис. 1 представлена нормированная к значению M_0 комплексная огибающая стимулированного эха для случая амплитуды фазоманипулированного импульса $R_3 = 10^5 \text{ rad/s}$. Внутренняя временная диаграмма соответствует хронологии воздействия импульсов возбуждения. При выбранных параметрах фаз дельтаобразных импульсов комплексная огибающая стимулированного эха является действительной знакопеременной функцией. Изменение знака свидетельствует о фазовой манипуляции стимулированного эха. Его форма в этом режиме повторяет форму фазоманипулированного импульса возбуждения.

При малых уровнях импульсов возбуждения имеет место линейный режим, при котором представляющие интерес для изучения формы стимулированного эха элементы переходной матрицы имеют вид

$$a_{13}(\Omega) = a_{23}^*(\Omega) \approx -iS(\Omega) \exp\left(i \frac{\Omega\tau_M}{2}\right);$$

$$a_{32}(\Omega) \approx \frac{i}{2}S(\Omega) \exp\left(-i \frac{\Omega\tau_M}{2}\right), \quad (8)$$

где $S(\Omega)$ — спектральная плотность комплексной огибающей импульса возбуждения.

В рассматриваемом случае фазоманипулированный импульс является третьим по счету и его влияние описывается коэффициентом $a_{13}^{(3)}(\Omega)$, пропорциональным спектральной плотности его комплексной огибающей.

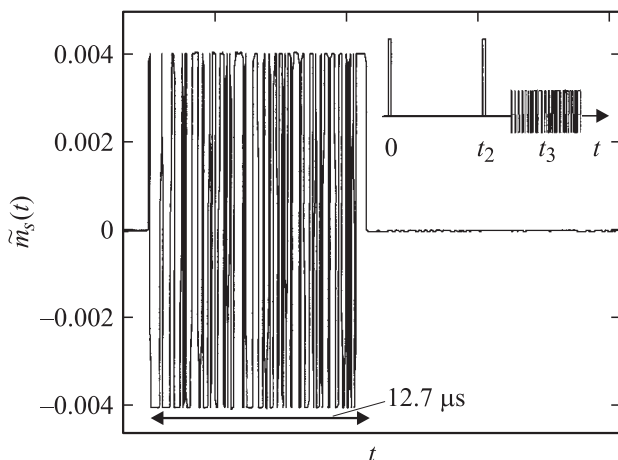


Рис. 1. Временная диаграмма импульсов возбуждения (на вставке) и комплексная огибающая стимулированного эха в линейном режиме.

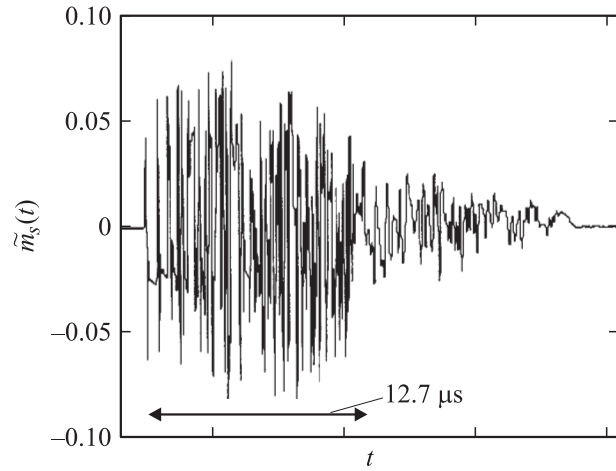


Рис. 2. Комплексная огибающая стимулированного эха в нелинейном режиме.

Отметим, что если в исходном алгоритме (рис. 1) поменять местами первый и третий импульсы возбуждения, то форма стимулированного эха станет зеркально отраженной, т.е. эхо инвертируется во времени. Это объясняется тем, что в этом случае влияние фазоманипулированного импульса описывается коэффициентом $a_{23}^{(1)}(\Omega)$, который пропорционален $S^*(\Omega)$. Отметим также, что если фазоманипулированный импульс поставить на место второго импульса, то описывающий его влияние коэффициент $a_{32}^{(2)}(\Omega)$ вновь будет пропорционален $S(\Omega)$ и эхо будет повторять форму фазоманипулированного импульса без инверсии во времени.

На рис. 2 исходный алгоритм возбуждения стимулированного эха представлен для случая $R_3 = 2 \cdot 10^6 \text{ rad/s}$. Этот режим является нелинейным относительно фазоманипулированного сигнала. Условия (8) перестают выполняться. Эхо уже отличается по форме от исходного фазоманипулированного сигнала, в частности его длительность становится в 2 раза большей. Отметим, что если поменять местами первый и третий импульсы возбуждения, то эхо, изображенное на рис. 2, инвертируется во времени. Если же поменять местами второй и третий импульсы, то форма эха в отличие от линейного режима изменится. Это объясняется тем, что в нелинейном режиме, в отличие от линейного, коэффициенты $a_{13}^{(3)}(\Omega)$ и $a_{32}^{(2)}(\Omega)$ могут существенно различаться.

Следующий алгоритм возбуждения моделирует возбуждение стимулированного эха двумя идентичными (регистр сдвига запускается из одного и того же начального состояния, оговоренного ранее) фазоманипулированными импульсами (импульсы 1 и 3) и дельтаобразным импульсом (импульс 2). Будем называть этот алгоритм Дельта 2, поскольку дельтаобразный импульс подается вторым по счету. Соответствующая временная диаграмма комплексных огибающих импульсов возбуждения и нормированная к значению M_0 комплексная огибающая стимулированного эха представлены на рис. 3. При этом амплитуды у фазоманипулированных импульсов

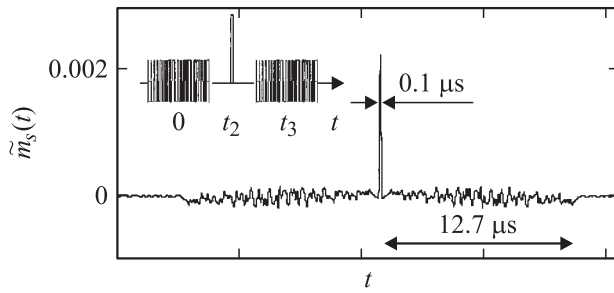


Рис. 3. Временная диаграмма импульсов возбуждения алгоритма Дельта 2 (на вставке) и комплексная огибающая стимулированного эха в линейном режиме.

$R_1 = R_3 = R = 10^5$ rad/s. Этот режим является линейным для указанных импульсов, и они запоминаются в виде неинвертированного во времени третьего импульса (как на рис. 1) и такого же, но инвертированного первого импульса. При этом произведению спектральных коэффициентов $a_{23}^{(1)}(\Omega)a_{13}^{(3)}(\Omega) \approx |S(\Omega)|^2$ во временной области соответствует стимулированное эхо в виде корреляционной функции фазоманипулированного 127-элементной M -последовательностью сигнала. Таким образом, отклик является симметричным, его суммарная длительность равна $25.4 \mu\text{s}$, а длительность корреляционного пика равна $0.1 \mu\text{s}$, что соответствует длительности элементарного импульса τ . Максимум корреляционного пика формируется в момент времени $t_2 + t_3$.

Если поменять местами второй и третий импульсы возбуждения, то получим алгоритм Дельта 3, поскольку дельтаобразный импульс станет третьим по счету импульсом возбуждения. При $R_1 = R_2 = R = 10^5$ rad/s режим относительно фазоманипулированных импульсов остается линейным и эхо останется таким же, как в алгоритме Дельта 2.

При увеличении амплитуд фазоманипулированных импульсов в алгоритме Дельта 2 до значений, выходящих за границу линейного режима, комплексная огибающая стимулированного эха также представляет собой автокорреляционную функцию, но не исходного фазоманипулированного сигнала, а сигнала, нелинейно преобразованного спиновой системой. Это объясняется тем, что при $R_1 = R_3$ имеет место соотношение $a_{13}^{(3)}(\Omega) = [a_{23}^{(1)}(\Omega)]^*$. Так, при $R_1 = R_3 = R = 2 \cdot 10^6$ rad/s форма стимулированного эха будет определяться корреляционной функцией импульса, показанного на рис. 2.

При различных амплитудах двух фазоманипулированных импульсов стимулированное эхо будет совпадать по форме с функцией взаимной корреляции запомненных спиновой системой сигналов. Так, например, если $R_1 = 2 \cdot 10^6$ rad/s, а $R_3 = 10^5$ rad/s, то это будет функция взаимной корреляции сигналов, изображенных на рис. 2 и 1.

На рис. 4 представлена комплексная огибающая стимулированного эха для алгоритма Дельта 2 при $R_1 = 2 \cdot 10^6$ rad/s и $R_3 = 3 \cdot 10^6$ rad/s. Если поменять местами второй и третий импульсы возбуждения местами,

то перейдем к алгоритму Дельта 3 при $R_1 = 2 \cdot 10^6$ rad/s и $R_2 = 3 \cdot 10^6$ rad/s. Форма стимулированного эха представлена на рис. 5. Как видно из графиков в нелинейном режиме, эти два алгоритма могут существенно различаться. Форма эха соответствует функции взаимной корреляции двух нелинейно преобразованных спиновой системой фазоманипулированных сигналов.

Различие этих алгоритмов в нелинейном режиме также хорошо прослеживается на амплитудных характеристиках зависимости амплитуды корреляционного пика стимулированного эха $m_k = \tilde{m}_s(t_2 + t_3)$ от амплитуды фазоманипулированного импульса. На рис. 6 показана

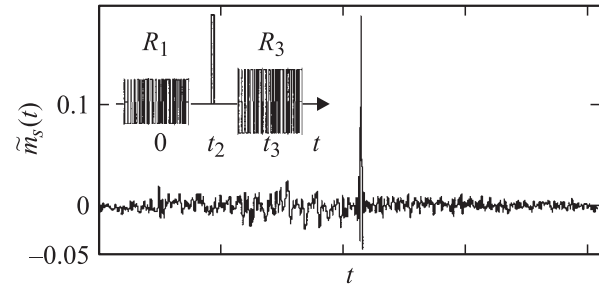


Рис. 4. Временная диаграмма импульсов возбуждения алгоритма Дельта 2 (на вставке) и комплексная огибающая стимулированного эха в нелинейном режиме.

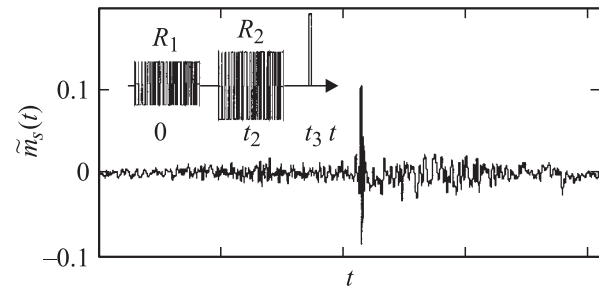


Рис. 5. Временная диаграмма импульсов возбуждения алгоритма Дельта 3 (на вставке) и комплексная огибающая стимулированного эха в нелинейном режиме.

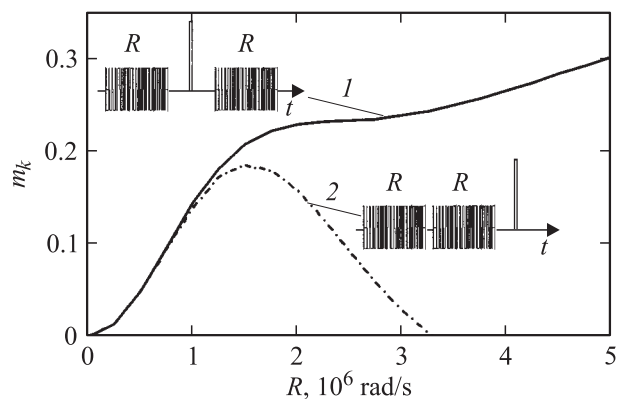


Рис. 6. Временные диаграммы импульсов возбуждения алгоритмов Дельта 2 (1) и Дельта 3 (2) и соответствующие амплитудные характеристики зависимости корреляционного пика комплексной огибающей стимулированного эха от амплитуды R псевдослучайных импульсов.

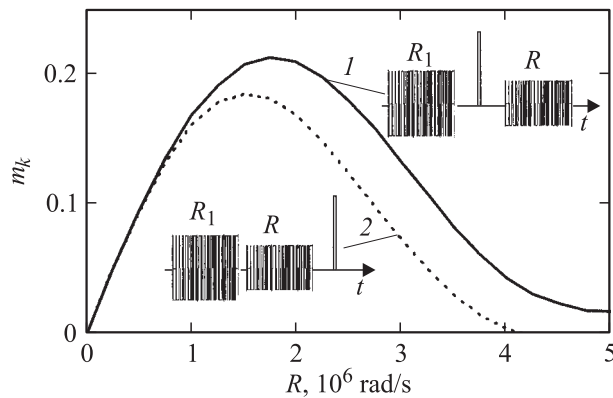


Рис. 7. Временные диаграммы импульсов возбуждения алгоритмов Дельта 2 (1) и Дельта 3 (2) и соответствующие амплитудные характеристики зависимости корреляционного пика комплексной огибающей стимулированного эха от амплитуды R псевдослучайных импульсов при амплитуде $R_1 = 1.5 \cdot 10^6$ rad/s.

ны амплитудные характеристики для алгоритма Дельта 3 при $R_1 = R_3 = R$ и для алгоритма Дельта 2 при $R_1 = R_2 = R$. Обе характеристики совпадают в линейном режиме при $R < 10^6$ rad/s. При больших значениях амплитуд импульсов R характеристики сильно различаются. В алгоритме Дельта 2 с ростом R амплитуда эха нарастает, затем стабилизируется, достигая значения 0.313. В алгоритме Дельта 3 амплитуда эха нарастает до максимального значения 0.19, а затем падает.

На рис. 7 представлены амплитудные характеристики зависимости амплитуды корреляционного пика стимулированного эха $m_k = \tilde{m}_s(t_2 + t_3)$ от амплитуды $R_3 = R$ для алгоритма Дельта 2 и от амплитуды $R_2 = R$ для алгоритма Дельта 3 при фиксированной амплитуде первого импульса $R_1 = 1.5 \cdot 10^6$ rad/s. Характеристики также совпадают в линейном режиме при $R < 10^6$ rad/s. В нелинейной области характеристики различаются количественно, в качественном же отношении с ростом амплитуды R они обе по достижении максимума спадают.

4. Заключение

Полученные амплитудные характеристики для алгоритмов Дельта 2 и Дельта 3 можно сравнить с соответствующими амплитудными характеристиками, полученными при возбуждении белым гауссовским шумом [13,14]. В качественном отношении они близки. Несколько меньшие значения максимальных амплитуд эха в случае псевдослучайного возбуждения объясняются неравномерностью спектра фазоманипулированных импульсов в отличие от белого гауссовского шума.

Полученные значения амплитуды корреляционного пика для алгоритмов Дельта 2 и Дельта 3 можно сравнить с амплитудой стимулированного эха в классическом алгоритме возбуждения тремя идентичными

дельтаобразными импульсами. При этом амплитуда стимулированного эха равна

$$A_\delta = (1/2) \sin^3 \alpha \cdot M_0.$$

Максимальное значение амплитуды в этом случае достигается при $\alpha = \pi/2$ и равно $A_s = (1/2)M_0$, а ее нормированное к M_0 значение равно 0.5. Это больше, чем значения, полученные в предложенных алгоритмах. Однако далеко не всегда удается создать когерентные импульсы, параметры которых одновременно отвечают условиям: $\tau_\delta \ll (\Delta F_L)^{-1}$, $\alpha = \pi/2$. Для произвольного параметра α отношение амплитуд стимулированного эха в этих двух алгоритмах определяется выражением

$$\frac{m_k \cdot \sin \alpha}{0.5 \cdot (\sin \alpha)^3}.$$

В частности, при $\alpha = 0.1$ и $m_k \approx 0.2-0.3$ выигрыш по амплитуде составит примерно 50 раз (2500 раз по мощности). Особенно актуально это при возбуждении широкополосных спектров ЯМР. Так, при исследовании ЯМР ядер ^{59}Co в пленках сплава Fe-Ni-Co ширина линии может достигать 80 MHz при центральной частоте около 200 MHz [12].

Полученные результаты применимы также для моделирования стимулированного электронного спинового эха и фотонного эха, поскольку имеют одинаковую математическую модель [15].

Список литературы

- [1] Р. Эрнст, Дж. Боденхаузен, А. Вокаун. ЯМР в одном и двух измерениях. Мир, М. (1990). 710 с.
- [2] E. Bartholdi, A. Wokaun, R.R. Ernst. Chem. Phys. **18**, 57 (1976).
- [3] W. Knight, R. Keiser. J. Magn. Reson. **48**, 293 (1982).
- [4] R. Keiser. J. Magn. Reson. **15**, 44 (1974).
- [5] J. Paff, B. Blumich. Phys. Rev. A **43**, 7, 3640 (1991).
- [6] Функциональные устройства обработки сигналов (основы теории и алгоритмы): Учебн. пособие для вузов / С.А. Баруздин, Ю.В. Егоров, Б.А. Калиникос, Н.Г. Ковшиков, Н.В. Кожусь, В.В. Матюшев, К.П. Наумов, Ю.Г. Смирнов, В.Н. Ушаков / Под ред. Ю.В. Егорова. Радио и связь, М. (1997). 287 с.
- [7] Л.Е. Варакин. Системы связи с шумоподобными сигналами. Радио и связь, М. (1985). 384 с.
- [8] В.Б. Устинов, С.П. Репников, Э.О. Сааков, В.А. Теряев. ФТТ **10**, 5, 1589 (1968).
- [9] Е.А. Туров, М.П. Петров. Ядерный магнитный резонанс в ферро- и антиферромагнетиках. Наука, М. (1969). 260 с.
- [10] В.О. Голуб, В.В. Котов, А.Н. Погорелький. ФТТ **40**, 6, 1056 (1998).
- [11] Е.Г. Апушкинский, В.В. Москалев. Вестн. ЛГУ. Физика. Химия **1**, 86 (1991).
- [12] В.А. Игнатченко, В.И. Цифринович. Ядерные сигналы в магнитоупорядоченных средах. Наука, Новосибирск (1993). С. 125.
- [13] С.А. Баруздин. Оптика и спектроскопия **91**, 2, 276 (2001).
- [14] С.А. Баруздин. Квантовая электроника **31**, 8, 719 (2001).
- [15] P. Bachmann, K. Sauer, G. Wallis. Fortschritte der Physik **20**, 3, 148 (1972).